

УДК 562/569.599.735.3(477)

## НОВЫЙ ПРЕДСТАВИТЕЛЬ РОДА *PROCAPREOLUS* НА ТЕРРИТОРИИ СЕВЕРНОГО ПРИЧЕРНОМОРЬЯ

Е. Л. Короткевич

(Институт зоологии АН УССР)

В составе гиппарионовой фауны с. Черевичный Одесской обл. ископаемая косуля занимала существенное место. Раскопки местонахождения проводятся почти ежегодно начиная с 1964 г. За это время экспедициями отдела палеозоологии Института зоологии АН УССР собран большой материал, в т. ч. серия рогов ископаемой косули, которая позволила проследить возрастную изменчивость данных образований черепа и представить возможные пути развития позднемиоценовых представителей рода.

*PROCAPREOLUS* SCHLOSSER, 1924

*Procapreolus florovi* \* sp. n. (рис. 1—5)

1970. *Procapreolus* sp. Т. Л. Короткевич, Позднеогеновые олени Северного Причерноморья, с. 94, рис. 30.

**Г о л о т и п.** Фрагмент черепа с рогами, № 45—26306, коллекция Института зоологии АН УССР. Местонахождение гиппарионовой фауны, овраг на левом берегу Хаджибейского лимана у с. Черевичный Беляевского р-на Одесской обл., УССР. Поздний миоцен, ? конец эоценов. Рис. 1.

**М а т е р и а л.** Фрагмент черепа с рогами, принадлежавшего взрослому животному, — голотип, № 45—26306; фрагмент черепа с рогами, частью лобных и теменных костей, принадлежавшего молодому животному, № 45—26308; правый рог с роговым пеньком и частью черепа, № 45—26309; рога с роговыми пеньками, левые, № 45—2607, 45—2629 и 45—2371; фрагменты рога, № 45—1956; пять горизонтальных ветвей нижней челюсти с  $P_2-M_3$ ; фрагменты правых горизонтальных ветвей нижней челюсти, № 45—26114, 45—26377 с  $M_2-M_3$ , № 45—2974 с  $P_3-M_2$ , полные ряды  $P^2-M^3$  верхней челюсти, № 45—3370 и № 45—3371 (вероятно, принадлежавшие одной особи);  $P^4-M^2$ , № 45—26376; незначительные фрагменты рогов и костей посткраниального скелета. Всего около 40 костей, принадлежавших не менее чем восьми животным.

**Д и а г н о з.** Рога крупные (длина от розетки до второго разветвления в среднем выше 240,0 мм) с несколько уплощенным стволом; палеомериксовая складка и базальные образования на зубах развиты слабо;  $P_4$  с Т-образным метаконидом, передний конец которого обычно слит с параконидом, передняя долина замкнута.

**О п и с а н и е.** Череп. Полных черепов или их крупных обломков нет. Представление о строении черепа описываемого вида составлено на основании изучения отдельных фрагментов черепа, принадлежавших разным животным. Это — лобные и фрагменты теменных костей, половина черепной коробки с роговым пеньком и рогом (левыми) и др. На черепе

\* Видовое название дано в честь К. К. Флорова.

взрослого животного роговой пенек расположен более вертикально, чем на черепе молодого: у первого наклонен над теменной костью под углом в  $75^\circ$ , у второго —  $60^\circ$ . Роговые пеньки на черепах взрослых животных расположены почти параллельно друг другу, а на черепах молодых, у розеток заметно расходятся в стороны (рис. 1, 2). Расстояние между основаниями роговых пеньков составляет 38,5, а между розетками —

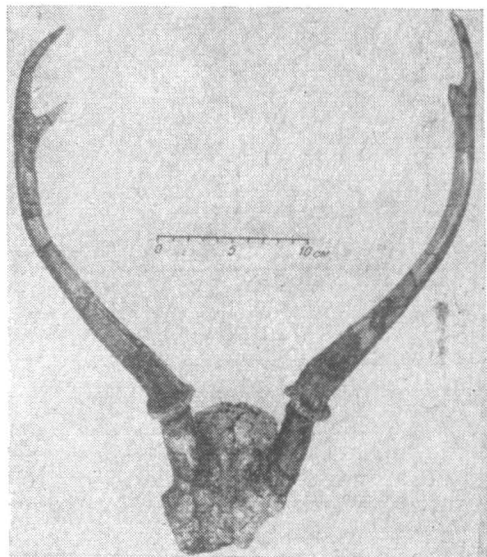
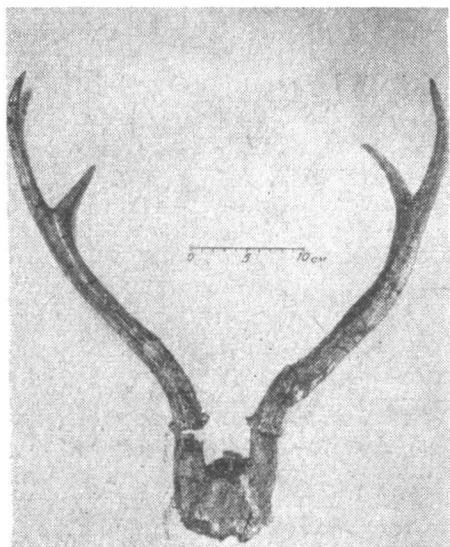


Рис. 1. *P. florovi* sp. n., фрагмент черепа с рогами взрослого животного (тип видл., № 45—26306, коллекция ИЗАН).

Рис. 2. *P. florovi* sp. n., фрагмент черепа с рогами молодого животного (№ 45—26308, коллекция ИЗАН).

62,0 мм. Роговые пеньки на черепе молодых животных находятся за уровнем заднего края глазницы (последняя сохранилась лишь в верхней части). Надглазничные отверстия находятся в V-образном углублении и расположены ближе к краю глазницы, чем к лобному шву. Лобные кости на уровне глазниц слегка выпуклые, а между роговыми пеньками почти плоские, даже несколько вогнутые. Венечный шов слабо вогнут посередине.

Рога (рис. 1, 3, табл. 1). Собранная серия рогов принадлежит животным различного возраста. Округлая форма основного ствола рога в нижней части, наличие трех отростков у взрослых животных, сравнительно высокое положение на стволе нижнего — среднего отростков, ответвление последнего под углом в  $50-60^\circ$ , а также отсутствие в основании ствола рога выростов и шипов подтверждает принадлежность этих остатков ископаемой косуле рода *Procapreolus*. После разветвления одноконечный рог «спичак» превращается в «вилку», передний отросток которой представляет непосредственное продолжение основного ствола рога (конечная часть одноконечного рога), а задний является вторичным по порядку появления. Третий, средний, отросток появляется на стволе рога последним. Возрастная изменчивость рогов проявляется в увеличении их размеров, удлинении отростков и увеличении их числа, относительном укорочении рогового пенька и увеличении его массивности, в определенном уплощении ствола рога в области среднего отростка, в относительном понижении последнего по отношению к розетке, в более резком изгибе ствола рога назад от уровня среднего отростка, в более

грубой структуре розетки и бороздок, в более параллельном и вертикальном положении роговых пеньков по отношению к крыше черепа у старых животных по сравнению с молодыми.

Верхние коренные зубы (рис. 4, табл. 2).  $P^2$ : коронка неправильно-полуокруглой формы, сравнительно короткая, по длине приближается к

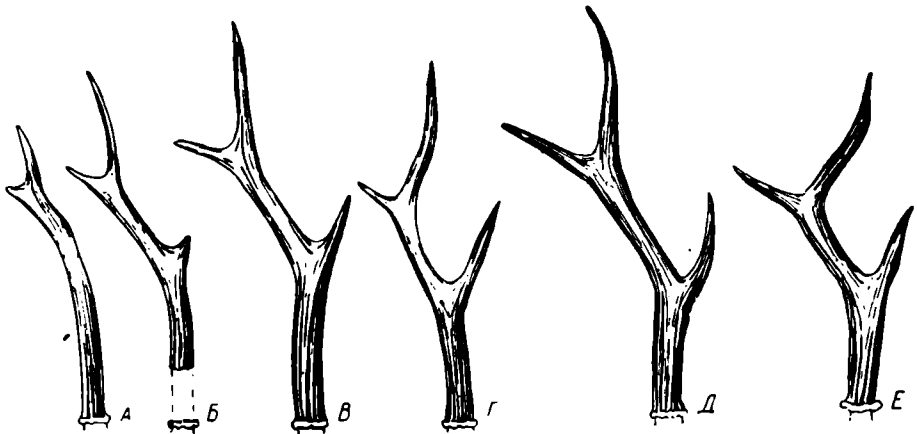


Рис. 3. Возрастная изменчивость рогов *P. florovi* sp. n. (схема строения).

таковой  $P^3$ , но короче ее. На наружной стенке паракон сближен с парастилем, несколько выше его и слабо выраженного метакона. На внутренней стенке нет воротничка и заметной бороздки, зуб несколько сужен спереди.  $P^3$  по форме коронки близок к предыдущему, но заметно больше его, во внутренней марке сильнее развита складка эмали, на внутренней стенке развит воротничок, особенно спереди. По степени развития складок эмали на наружной стенке близок к  $P^2$ . У  $P^4$  коронка уже, чем на предыдущих зубах, зуб сжат с боков, более симметричный. Парастиль низкий и менее широкий, чем на  $P^3$ , паракон высокий и четкий, метастиль несколько ниже его, но более четкий. Складки эмали сближены в основании коронки и расходятся к жевательной поверхности зуба. На внутренней стенке хорошо развит воротничок, по ее середине намечается бороздка.  $M^1$ — $M^3$  расположены кулисообразно по отношению друг к другу. Характерные особенности: парастиль и мезостиль на наружной стенке четкие, хорошо развитые, но сравнительно низкие, паракон мощный, высокий, метакон почти такой же высоты, но развит заметно слабее, метастиль низкий и сравнительно слабый. На всех молярах развита шпора гипокона. На внутренней стенке  $M^2$  наиболее четко выражены базальные образования, базальный бугорок довольно высокий, имеет вид столбика.

Нижняя челюсть (рис. 5, табл. 3) по особенностям строения и размерам существенно не отличается от таковой современных косуль, особенно косули сибирской (*Capreolus capreolus pygargus* Pall.). Абсолютные размеры нижней челюсти ископаемой косули несколько меньше таковых косули сибирской и близки к таковым косули европейской (*C. c. capreolus* L.), ее относительные размеры (за исключением длины диастемы) близки к таковым названных выше косуль.

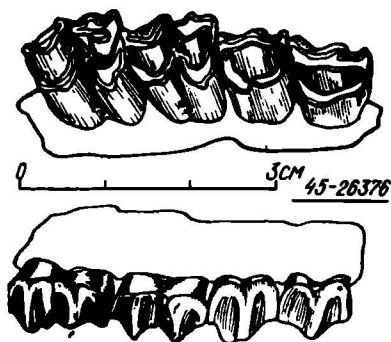
Нижние коренные зубы (рис. 5, 6, табл. 3).  $P_2$  меньше следующих предкоренных, но заметно не редуцирован, парастилид низкий, четкий, метаконид тесно примыкает к протокониду, направлен назад, энтоконид и энтостилид слабо выражены, не четкие, зуб конической формы за счет

Таблица 1

Примеры (мм) рогов ископаемой козули рода *Proscarpeolus*

Примеры	<i>Proscarpeolus floreni</i> sp. n.												<i>P. israëlicus</i>			
	Черевичники, коллекция Института зоологии АН УССР												Новоукраинка, коллекция Института зоологии АН УССР			
	45—26308	45—2637	45—26309	45—2629	45—26306	45—2371	lim	M	n	30—153	38—182	38—184	левый	правый	левый	правый
Длина рога	270,0	257,0	342,0	345,0	346,0	365,0	363,0	390,0	257,0—390,0	335,0	175,0	189,0	320,0			
Расстояние от розетки до 1-го разветвления с внутренней стороны	178,0	170,0	142,8	156,7	142,8	150,5	147,7	140,0	140,0—178,0	154,5	98,0	113,0	152,0			
То же с наружной стороны	—	—	135,0	147,5	133,0	138,3	137,0	138,0	133,0—147,5	138,1	92,0	111,0	148,0			
То же до 2-го разветвления с внутренней стороны	231,6	206,0	233,3	240,6	233,4	256,5	277,0	266,0	206,0—277,0	243,0	155,0	158,8	235,0			
То же с наружной стороны	235,0	212,8	226,8	233,0	229,5	244,0	265,0	258,6	212,8—265,0	238,0	—	—	—			
Расстояние между разветвлениями	72,0	54,0	107,0	104,0	99,8	119,3	138,6	144,5	54,0—144,5	104,9	70,0	53,0	95,5			
Длина среднего отростка	—	—	92,0	45,0	96,5	76,5	76,0	84,6	45,0—96,5	78,4	—	—	—			
То же переднего отростка	48,0	60,5	161,2	101,0	140,0	127,8	106,0	152,0	48,0—161,2	112,2	—	—	—			
То же заднего отростка	10,0	28,0	82,0	53,5	—	78,5	80,6	98,0	10,0—98,0	61,5	—	—	—			
Ширина розетки	32,7	33,0	—	—	41,0	38,0	36,0	—	32,7—41,0	36,1	20,0	—	28,0			
Поперечник розетки	28,6	30,0	44,1	35,6	40,0	37,0	33,0	—	28,6—44,4	35,4	21,5	—	28,0			
Ширина над розеткой	24,0	22,0	26,5	23,6	25,2	27,0	25,0	26,6	22,0—27,0	24,8	15,2	15,2	23,6			
Поперечник над розеткой	21,6	18,0	27,8	25,0	25,0	24,6	24,6	26,1	18,0—26,6	24,1	14,3	15,0	23,5			
Ширина пенька	21,0	22,0	25,0	22,0	23,0	25,0	25,0	27,1	21,0—27,0	23,7	17,0	16,5	23,5			
Поперечник пенька	18,7	19,0	22,4	21,5	20,0	23,0	22,6	26,0	18,7—26,0	21,6	15,5	15,3	20,4			
Длина пенька с наружной стороны	47,0	54,0	55,5	63,0	53,0	63,0	71,0	—	47,0—71,0	58,0	—	56,2	—			
То же с внутренней стороны	38,0	38,0	36,6	31,6	31,5	39,5	38,0	—	31,0—39,5	36,0	—	36,5	—			
Расстояние между розетками	55,1	—	—	—	—	32,3	—	—	32,3; 55,1	—	—	—	—			
Расстояние между наружными сторонами роговых пеньков (под розеткой)	101,0	—	—	—	—	90,3	—	—	90,3; 101,0	—	—	—	—			
То же у основания пеньков	81,6	—	—	—	—	89,8	—	—	89,8; 81,6	—	—	—	—			

развития протоконида. У  $P_3$  парастилид меньше параконид, не слит с ним, передняя долинка открыта, метаконид повернут назад, округлен, соединен с вершиной протоконид, не слит с энтоконидом, вторая и третья долилки открыты, энтоконид и гипоконид не слиты, образуют вилку, четвертая долинка открыта. Однако, возможно, что последняя полностью замыкается при сильной стертости коронки зуба.



У  $P_4$  наружная стенка зуба разделена четкой и глубокой бороздой, которая как бы разделяет коронку зуба на две доли. Такое строение иллюстрирует определенную степень моляризации  $P_4$ . На шести челюстях из семи метаконид на  $P_4$  уплощен, соединен с параконидом и тесно примыкает к энтокониду, образуя внутреннюю стенку

Рис. 4. *P. florovi* sp. n., верхние коренные зубы  $P^3$ — $M^2$  (№ 45—26376, коллекция ИЗАН).

зуба, и замыкает вторую долинку и частично третью. На месте последней на внутренней стенке зуба находится резкая, четкая борозда. Только на одном экземпляре (№ 45—3024) метаконид Т-образно уплощен, но его концы не слиты ни с параконидом, ни с энтоконидом и вторая и третья долилки не замкнуты.  $M_1$ — $M_3$ : метаконид и энтоконид высокие, заостренные, более четкие у вершины коронки, из более низких и слабо развитых стилей несколько выделяется мезостилид, протоконид и гипоконид заметно сжаты с боков, слабо заострены, между ними в основании зуба находятся небольшие базальные бугорки, а на передних стенках—слабо развитые воротнички. Палеомериксовая складка развита крайне слабо. Третья доля на  $M_3$  полуовальной формы, ниже первых двух, ее срединное ребро как бы срезано. Коронки зубов слегка сужаются к жевательной поверхности. Относительные размеры нижних предкоренных зубов описываемой косули существенно не отличаются от таковых косули сибирской.

Резцовый отдел сохранился на одной ветви нижней челюсти (№ 45—3024). Коронки резцов  $I_3$  и  $I_2$  асимметричные, удлинненные, по размерам и форме они близки к клыку. Длина широкой, лопатообразной коронки  $I_1$  в два раза больше длины коронки перечисленных зубов. Размеры зубов, мм:

	Длина коронки	Высота коронки
$I_1$	5,0—2,2	6,0
$I_2$	2,4—1,7	5,7
$I_3$	2,0	5,0
C	2,0	6,5

Сравнение. По общему типу строения трехотростковых, лировидных рогов со слабо развитым средним отростком (на рогах молодых животных), отсутствию шипов и выростов в основании ствола рога *Procapreolus florovi* близка к *P. latifrons* из Китая и Монголии (Schlosser, 1924; Zdansky, 1925). От последней описываемый вид отличается большими размерами рогов, более длинным роговым пеньком, слабым развитием базальных образований, почти полным отсутствием палеомериксовой складки на нижних коренных зубах. Описываемая форма отличается и от *P. ucrainicus* из Новоукраинки и близких к ней форм из ряда местонахождений гиппарионовой фауны юга СССР — Белка, Новоелизаветовка (Короткевич, 1965, 1970). Так, у *P. florovi* в отличие от *P. ucrainicus*

Т а б л и ц а 2

## Промеры и индексы зубов верхней челюсти ископаемой косули

Зуб	Показатель	<i>Procapreolus florovi</i> , Черевичный, коллекция Института зоологии АН УССР		
		№ 45—26376	№ 46—3370	№ 45—3371
	Промер, мм			
	Длина P <sup>2</sup> —M <sup>3</sup>	—	67,0	64,5
	Длина P <sup>2</sup> —P <sup>4</sup>	—	31,0	29,0
	Длина M <sup>1</sup> —M <sup>3</sup>	—	36,0	35,7
P <sup>2</sup>	Длина	—	10,0	9,8
	Ширина	—	9,5	9,5
	Высота	—	8,0	8,8
P <sup>3</sup>	Длина	9,0—10,5	9,6	9,5
	Ширина	10,4	11,5	12,0
	Высота	8,0	10,0	10,0
P <sup>4</sup>	Длина	7,2—9,2	8,8	9,3
	Ширина	11,4	11,0	—
	Высота	8,0	9,5	—
M <sup>1</sup>	Длина	12,0	10,5—12,5	—
	Ширина	13,0	13,5	—
	Высота	7,0	8,6	—
M <sup>2</sup>	Длина	12,0	11,5—13,5	12,0
	Ширина	14,2	15,0	14,7
	Высота	8,0	10,5	11,0
M <sup>3</sup>	Длина	—	10,7—13,3	10,5
	Ширина	—	14,0	15,0
	Высота	—	9,0	10,5
	Индекс, %			
	P <sup>2</sup> —P <sup>4</sup> : P <sup>2</sup> —M <sup>3</sup>	—	46,3	43,4
	P <sup>2</sup> —P <sup>4</sup> : M <sup>1</sup> —M <sup>3</sup>	—	86,2	81,0

рога больше, несколько больше уплощен ствол рога в области среднего отростка, больше передне-задний диаметр ствола рога взрослых животных, более сжат спереди — назад роговой пенек, кроме того, менее примитивно строение зубной системы. По сравнению с *P. wenzensis* (Czyżewska, 1960; 1968) у *P. florovi* абсолютные размеры рогов больше, а нижней челюсти и зубов — меньше. *P. florovi* отличается от второго вида степенью развития палеомериковской складки, базальных образований и строением P<sub>4</sub>.

От ископаемых оленей из Черной Ложины и Андреевки, отнесенных нами к *P. cusanus* (Короткевич, 1963, 1964, 1970), описываемая косуля отличается более крупными, но менее округленными стволами рогов, резче выраженными, неравномерными на них бороздками и более широкой, но менее жемчужевидной розеткой. Однако в Андреевке были найдены остатки рогов и нижних челюстей оленей, чрезвычайно близких по строению и размерам к описываемым. Гораздо труднее сравнить *P. florovi* с *Cervus cusanus* из плиоцена Франции (Heintz, 1970) из-за разнородности видового состава, а также фрагментарности и расчлененности

краниологических остатков в последнем местонахождении. Сравнимые виды близки по типу строения рогов и их размерам. Исключение составляют рога, изображенные на рис. 76 и 78 в работе Гейнца (Heintz, 1970), которые по строению похожи на рога оленей, а не косуль. Однако, по деталям строения зубов, степени моляризации предкоренных и строе-

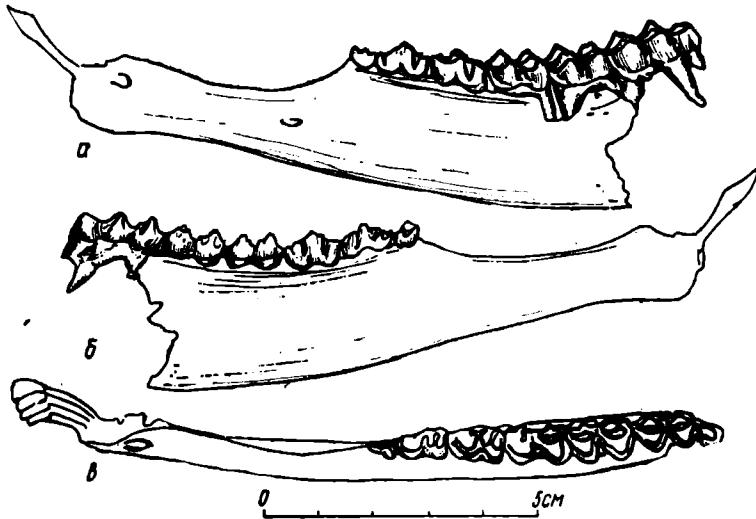


Рис. 5. *P. florovi* sp. n., нижняя челюсть: а — вид снаружи; б — вид с внутренней стороны; в — вид сверху.

нию  $P_4$  новый вид четко отличается от косули из Этуар и от ископаемых косуль Кучургана и Косякинского карьера (Верещагин, 1959; Короткевич, 1970). Следует отметить, что в перечисленных захоронениях совместно с остатками косуль встречаются кости очень близких к ним по размерам ископаемых оленей. Так, *Cervus cusanus* и *C. ramosus* из Этуар слабо различаются по размерам  $P_4$  и более четко — по размерам  $M_3$  в (Heintz, 1970, v. II, fig. 80—93). Размеры зубов ископаемых оленей из Кучургана совпадают с таковыми оленей из плиоцена Франции.

**З а м е ч а н и я.** Для описываемого вида косули из Черевичного характерно сочетание как прогрессивных, так и примитивных признаков строения. По деталям строения зубов, степени моляризации предкоренных, типу строения  $P_4$  новый вид занимает промежуточное положение между древними — позднесарматскими и более поздними — плиоценовыми видами. Размеры рогов нового вида ближе к таковым мелких оленей и больше размеров рогов как ископаемых, так и современных косуль. От последних *Procacpreolus florovi* отличается строением рогов, степенью моляризации предкоренных зубов, строением  $P_4$ . Предкоренные современных родов оленей находятся на различной стадии моляризации. (Флеров, 1952, рис. 5, 6). Различная степень моляризации предкоренных зубов, особенно  $P_4$ , наблюдается и у различных форм сравнительно небольших, с трехростковыми рогами поздннеогеновых оленей Северного Причерноморья (рис. 6). При определении ископаемых форм, учитывая большую изменчивость и фрагментарность рогов, следует особое внимание уделять особенностям строения зубной системы. При наличии в захоронении нескольких ископаемых форм бывает очень трудно определить принадлежность зубов или челюстей, обычно изолированных от





других краниологических остатков (в т. ч. и рогов), к той или иной форме. Это особенно касается изучения виллафранкских оленей Франции и Испании (Heintz, 1970) и плиоценовых из Кучургана, Косякино и ряда других местонахождений на территории СССР (Борисяк, Беляева, 1948; Верещагин, 1959; Година, Давид, 1973; Короткевич, 1970). Эволюцион-

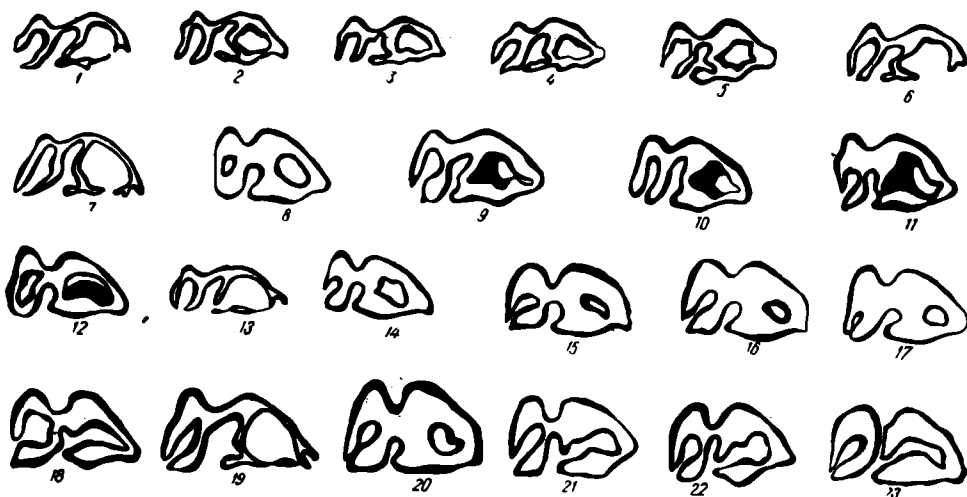


Рис. 6. Схема строения нижнего предкоренного зуба  $P_4$ :

1—6 — *P. florovi* sp. n. из Черевичного; 7—8 — *P. ucrainicus* из Новоукраинки; 9—12, 15—18, 21, 22 — оленя из Кучургана; 13—14 — оленя из Андреевки Николаевской обл.; 19 — *Procervus* sp. из Гребеников Одесской обл.; 20 — оленя из Точилова; 23 — современной косули (*Capreolus capreolus pygargus*).

ные изменения зубной системы у оленеобразных шли по пути моляризации предкоренных зубов, что прослеживается при изучении ископаемых косуль. Так, у наиболее древнего, позднесарматского вида *P. ucrainicus* из Новоукраинки характерными особенностями  $P_4$  являются уплощенный метаконид, соединенный перемычкой с протоконидом, и открытые внутренние долилки. В процессе стирания коронки энтоконид сливается с энтостилидом, а передний отдел метаконида — с параконидом, в результате чего замыкаются вторая и четвертая долилки. Задний конец уплощенного метаконида четко оконтурен. У более позднего вида *P. florovi* из Черевичного на слабо стертом  $P_4$  метаконид отчленен от протоконида, а передний конец метаконида примыкает к паракониду, замыкая вторую долилку. По мере стирания зуба происходит полное слияние метаконида с параконидом и соединение первого с протоконидом. Задний конец метаконида удлиненный, четкий, направлен назад, но не замыкает третью долилку. Наконец на самом стертом зубе метаконид Т-образной формы, — все долилки открыты. Строение зубов у нового вида близко к таковому оленя из Андреевки (рис. 6), отнесенного к *P. cusanus* (Короткевич, 1970). У наиболее позднего вида — *Cervus cusanus* из Кучургана и Этуар (Франция) моляризация предкоренных зубов выражена еще резче. Так, на  $P_4$  метаконид полностью слит как с протоконидом, так и параконидом, вторая долилка замкнута, задний отдел метаконида сокращен, задняя и передняя доли зуба довольно четко обозначены и мало отличаются друг от друга по размерам но соединены друг с другом. Строение  $P_4$  *C. cusanus* близко к строению  $P_4$  современной косули. Моляризация у последней четко выражена, протоконид отделен от гипоконида, последний слит с энтоконидом и заметно увеличен, передняя и зад-

няя доли зуба не соединены. По строению  $P_4$  похож на моляры, состоящие из двух долей. Поскольку у представителей различных родов оленей стадия моляризации зубной системы может быть одинаковая, при их определении следует учитывать абсолютные и относительные размеры их зубов (Heintz, 1970, v. II, fig. 80—93).

**Местонахождение.** Местонахождение гиппарионовой фауны на левом берегу Хаджибейского лимана в верховьях оврага, с. Черевичный Беляевского р-на, Одесской обл., УССР.

**Геологический возраст.** Поздний миоцен, ? конец мэотиса.

#### Л И Т Е Р А Т У Р А

- Борисяк А. А., Беляева Е. И. 1948. Местонахождения третичных млекопитающих на территории СССР. Тр. Палеонт. ин-та, т. 15, в. 3.
- Векуа А. А. 1972. Квабейская фауна акчагыльских позвоночных. М.
- Верещагин Н. К. 1959. Млекопитающие Кавказа. М.—Л.
- Година А. Я., Давид А. И. 1973. Неогеновые местонахождения позвоночных на территории Молдавской ССР. Кишинев.
- Корожкевич О. Л. 1963. Нові дані про систематику і філогенію викопних козуль роду *Procapreolus*. ДАН УРСР, № 10.
- Её же. 1964. Нові знахідки пліоценової козулі роду *Procapreolus* на півдні СРСР. ДАН УРСР, № 3.
- Её же. 1965. Новый вид козуль из мэотиса Украины. Палеонт. журн. АН СССР, № 4.
- Её же. 1970. Поздненеогеновые олени Северного Причерноморья. К.
- Флеров К. К. 1952. Кабарги и олени. В кн.: «Фауна СССР. Млекопитающие», т. I, в. 2. М.—Л.
- Czyzewska T. 1960. Nowy gatunek jelenia rodzaju *Cervoceros* Khomenko z pliocen-skiej brekcji kostnej z Wezow. Acta. Palaent. Pol., v. 5, № 3.
- Idem. 1968. Deers from Weze and their relationship with the pliocene and recent Eurasian Cervidae. Ibid., v. 13, № 4.
- Heintz E. 1970. Les Cervides villafranchiens de France et d'Espagne, v. I—II. Mem. Mus. Nat. d'Hist. Naturelle, nouvelle serie Ser. C, t. XXII. Paris.
- Schlosser M. 1924. Tertiary vertebrates from Mongolia. Paleont. Sinica, ser. C, v. I, fasc. 1. Peking.
- Zdansky O. 1925. Fossil Hirsche Chinas. Idem., ser. C, v. II, fasc. 3. Peking.

Поступила 3.XI 1972 г.

#### NEW REPRESENTATIVE OF THE GENUS *PROCAPREOLUS* FROM THE TERRITORY OF THE NORTH BLACK SEA AREA

E. L. Korotkevich

(Institute of Zoology, Academy of Sciences, Ukrainian SSR)

#### S u m m a r y

The article deals with a description of fossil roe of the *Procapreolus* genus — *Procapreolus florovi* sp. n. Comparatively numerous remnants of this roe that makes possible to trace age variability of horns are found in burials of the hiparion fauna near the village of Cherevichny of the Odessa region. This roe differs from more ancient representatives of this genus in size and structure of horns, somewhat more progressive structure of the tooth system but is close to them by the degree of molarization of premolar teeth: they are more molar in young Pliocene representatives of the genus and especially in modern roes.